

## II-46 セン断によって体積が変化する土の力学理論

東大生研 会員 星 埜 和

著者がさきに発表した土の力学理論<sup>(1)</sup>は土が微小な応力変化に対して弾性論的に挙動するとの前提に立ち、セン断によって体積の変化を生じないものとして組み立てられた。

しかるに、一般に土のような粒状体の集合からなる材料においては、セン断によって体積変化を生ずることがあり、とくに砂のような粗粒材料においては、体積のいちじるしい膨脹を生ずるものがあることは、前から知られており、グイレーション(Dilatancy)と呼ばれている。著者は研究室で行った三軸試験の結果を検討して、砂の場合にこの種の体積膨脹が認められるばかりでなく、粘土質の土では反対に体積の収縮と起すものが多く、量に多少の差はあっても、ほとんどの土でこのような現象が認められることも明かにした。

このことは、たとえ応力変化が乏しめ、微小な範囲にとどまっても、土はもはや弾性論的な性質とは異なる挙動を示すことになり、したがって空隙率の発生や土圧の量および分布などに対しては、無視できない影響を与えることが予想された。

著者はこの異に注目して、さきに発表した土の力学理論に、このセン断による体積変化の影響と入って改良を加え、三軸試験結果と比較して、その正しさを確かめようとした。

### 1. 三軸試験で確かめられたセン断による体積変化の事実

繰返載荷条件の下で開放式三軸試験を行い、液圧過程と軸圧過程における平均圧応力 $\bar{\sigma}_m$ と体積変化 $\pi$ との関係および平均セン断力 $\bar{\tau}_m$ とねじり変形 $m$ との関係を求めると、一般に図1のようになる。

この図において、液圧過程ABについては、理論を改める必要はない。軸圧過程BCにおいて、体積変化の経過をみると、弾性理論から出発した従来の理論では、BCのように、B点で液圧過程の曲線ABに接して始まる。しかるに実際はBC<sub>1</sub>またはBC<sub>2</sub>のように、AB曲線とある角度を成すものが多く、土によってはその開きが乏しめ、顕著である。これは土がセン断によって体積変化を生ずることを示すものにほかならない。

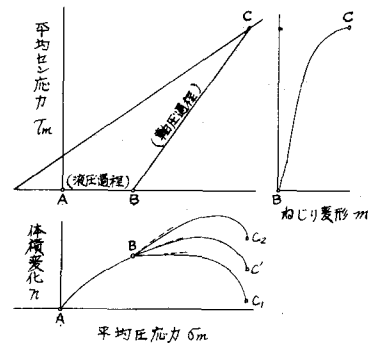


図-1 セン断によって生ずる体積変化の説明

### 2. 新しい理論の仮定と基本公式の誘導

従来の理論を改良するにあたり、実験結果を十分検討して、次のような仮定をたいた。

a) セン断による体積変化の量はねじり変形量に比例するものとして、その比例係数を $K$ とおく。すなわち

$$\text{体積変化: } \frac{d\pi}{1-\pi} = \frac{d\bar{\sigma}_m}{V} + K \frac{dm}{1-m} = \frac{d\bar{\sigma}_m}{V} + K \frac{d\bar{\tau}_m}{U} \quad (1)$$

$$\text{ねじり変形: } \frac{dm}{1-m} = \frac{d\bar{\tau}_m}{U} \quad \text{ここで } V, U \text{ はいずれも土の変形係数である。}$$

したがってエネルギーの変化量は

$$dA = \sigma_m \frac{d\epsilon_m}{1-\nu} + \tau_m \frac{d\gamma_m}{1-\nu} = \frac{\sigma_m}{V} d\epsilon_m + \frac{\tau_m + K \sigma_m}{U} d\gamma_m$$

となり、かつ

$$dA = \frac{\partial A}{\partial \sigma_m} d\sigma_m + \frac{\partial A}{\partial \tau_m} d\tau_m$$

であるから、両式右辺の係数とくらべて、次のような関係式をうる。

$$\frac{1}{V} = \frac{1}{\sigma_m} \frac{\partial A}{\partial \sigma_m}, \quad \frac{1}{U} = \frac{1}{\tau_m + K \sigma_m} \frac{\partial A}{\partial \tau_m} \quad (2)$$

b) 初期条件  $\sigma_m = \sigma_0$ ,  $\tau_m = 0$  において、従来のとおり

$$V = V_0, \quad U = U_0 \quad (3)$$

c) 破壊条件として 従来のとおり

$$\tau_m = \lambda V \sigma_m \quad (4)$$

以上の仮定が満足されるようなエネルギー表示の形を求め、次式をえら。

$$A = \left[ \frac{\sigma_0}{V} + \frac{\sigma_0}{U} \left\{ (\lambda V + K)^2 - K^2 \right\} \right] \sigma_m - \frac{\sigma_0}{U} \sqrt{(\lambda V + K)^2 - K^2} \sqrt{(\lambda V + K)^2 \sigma_m^2 - (\tau_m + K \sigma_m)^2} \quad (5)$$

この式において  $K = 0$  ならば 従来公式と一致する。

式(5)の  $A$  を  $\sigma_m$  と  $\tau_m$  でそれぞれ偏微分して (2) 式を用いると、次の式をうる。

$$\frac{1}{V} = \frac{1}{\sigma_m} \left\{ \frac{\sigma_0}{V} + \frac{\sigma_0}{U} \left\{ (\lambda V + K)^2 - K^2 \right\} - \frac{\sigma_0}{U} \sqrt{(\lambda V + K)^2 - K^2} \frac{(\lambda V + K)^2 \sigma_m - K(\tau_m + K \sigma_m)}{\sqrt{(\lambda V + K)^2 \sigma_m^2 - (\tau_m + K \sigma_m)^2}} \right\}$$

$$\frac{1}{U} = \frac{\sigma_0}{U} \frac{\sqrt{(\lambda V + K)^2 - K^2}}{\sqrt{(\lambda V + K)^2 \sigma_m^2 - (\tau_m + K \sigma_m)^2}}$$

これらを用いると 与えられた応力条件よりヒズミ条件の下で理論計算がてえる。

### 3 理論と実験の比較

繰返し荷条件の下で開放式三軸実験を行えば 液圧過程において  $\sigma_m = \sigma_0 + \sigma$ ,  $\tau_m = 0$ . 軸圧過程において  $\sigma_m = \sigma_0 + \sigma_2 + \frac{1}{3} \sigma_1$ ,  $\tau_m = \frac{\sqrt{3}}{3} \sigma_1$  (ここに  $\sigma_0$  は土の内部応力,  $\sigma$  は液圧,  $\sigma_1$  は一定液圧,  $\sigma_2$  は軸圧応力) として実験的に入,  $\nu$ ,  $K$ ,  $\sigma_0$ ,  $V_0$ ,  $U_0$  ( $K$  は  $\nu$  の  $V_0/V_0$ ) などの定数を決定して、理論曲線と比べることが出来る。図-2 は、このようにして求めた理論曲線と実験値をくらべた一例である。破壊の近く近傍を除けば両者はほぼ完全に一致している。なお自然状態の土では破壊直の近くで理論曲線からはずれて大きな体積収縮を示すものがある。関東赤土はそのいちじるしい例であるが、これは土の持つ内部構造がと断によって破壊されるためと推定される。

#### 参考文献

- (1) 屋笠 和 土の力学における塑性の基本理論と三軸試験への適用, 土木学会論文集 第21号, 1954

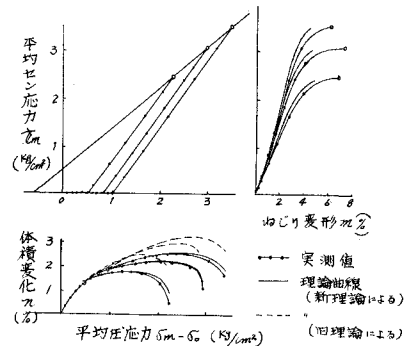


図-2 三軸試験における理論曲線と実験値の比較  
砂利質土:  $\gamma_0 = 1.762$ ,  $W = 15.50$ ,  $\gamma_s = 2.65$   
 $N_a = 0.062$ ,  $\sigma_0 = 0.695 \text{ kg/cm}^2$   
 $\lambda = 0.647$ ,  $\nu = 0.047$ ,  $K = -0.270$   
 $\sigma_0/V_0 = 2.038 \times 10^{-2}$